

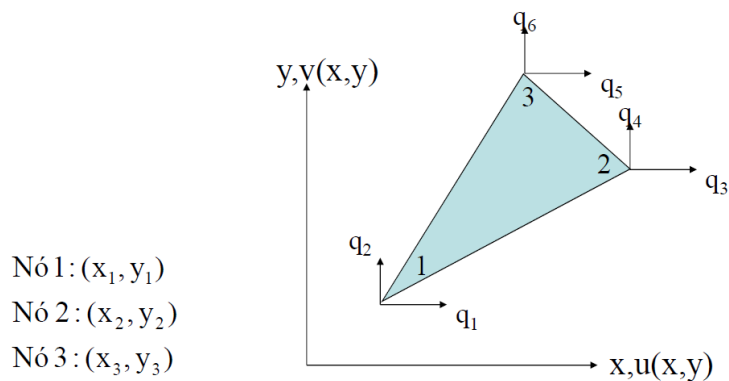


Nome: **Leonardo Barros da Luz, Renan Miranda Portela e Higor Rodrigues Paixão** Data: 29 de julho de 2021

Questão 1. Obter explicitamente a matriz de rigidez de um elemento CST, sujeito a um estado plano de tensão.

Resposta:

Figura 1: Ilustração de um elemento CST.



Utilizando as funções de forma para o elemento descrito na figura 1

$$\begin{aligned} f_1 &= \frac{1}{|J|} [-x(-y_2 + y_3) + x_2 y_3 - x_3 y_2 + y(-x_2 + x_3)], \\ f_2 &= \frac{1}{|J|} [-x(-y_3 + y_1) + x_3 y_1 - x_1 y_3 + y(-x_3 + x_1)], \text{ e} \\ f_3 &= \frac{1}{|J|} [-x(-y_1 + y_2) + x_1 y_2 - x_2 y_1 + y(-x_1 + x_2)] \end{aligned}$$

onde

$$J = \begin{bmatrix} 1 & x_1 & y_1 \\ 1 & x_2 & y_2 \\ 1 & x_3 & y_3 \end{bmatrix}$$

e

$$A = \frac{|J|}{2} = \frac{x_1 y_2}{2} - \frac{x_2 y_1}{2} - \frac{x_1 y_3}{2} + \frac{x_3 y_1}{2} + \frac{x_2 y_3}{2} - \frac{x_3 y_2}{2}$$

pode-se calcular a matriz

$$B = \begin{bmatrix} \frac{\partial f_1}{\partial x} & 0 & \frac{\partial f_2}{\partial x} & 0 & \frac{\partial f_3}{\partial x} & 0 \\ 0 & \frac{\partial f_1}{\partial y} & 0 & \frac{\partial f_2}{\partial y} & 0 & \frac{\partial f_3}{\partial y} \\ \frac{\partial f_1}{\partial y} & \frac{\partial f_1}{\partial x} & \frac{\partial f_2}{\partial y} & \frac{\partial f_2}{\partial x} & \frac{\partial f_3}{\partial y} & \frac{\partial f_3}{\partial x} \end{bmatrix}$$

resultando em

$$\mathbf{B} = \frac{1}{2A} \begin{bmatrix} y_2 - y_3 & 0 & y_3 - y_1 & 0 & y_1 - y_2 & 0 \\ 0 & x_3 - x_2 & 0 & x_1 - x_3 & 0 & x_2 - x_1 \\ x_3 - x_2 & y_2 - y_3 & x_1 - x_3 & y_3 - y_1 & x_2 - x_1 & y_1 - y_2 \end{bmatrix}.$$

Utilizando a matriz que relaciona tensões com deformações para um estado plano de tensão

$$\mathbf{D} = \frac{E}{1 - \nu^2} \begin{bmatrix} 1 & \nu & 0 \\ \nu & 1 & 0 \\ 0 & 0 & \frac{1 - \nu}{2} \end{bmatrix}$$

calcula-se a matriz de rigidez do elemento através de

$$\mathbf{K} = \int_V \mathbf{B}^T \mathbf{D} \mathbf{B} dV = \mathbf{B}^T \mathbf{D} \mathbf{B} A t, \quad (1)$$

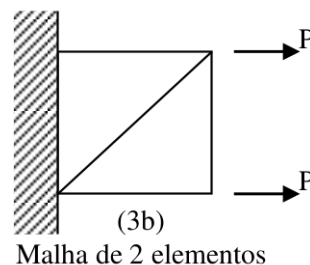
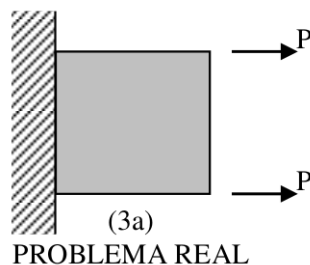
logo

$$\mathbf{K} = \frac{E}{4A(1 - \nu^2)} t \begin{bmatrix} y_2 - y_3 & 0 & x_3 - x_2 \\ 0 & x_3 - x_2 & y_2 - y_3 \\ y_3 - y_1 & 0 & x_1 - x_3 \\ 0 & x_1 - x_3 & y_3 - y_1 \\ y_1 - y_2 & 0 & x_2 - x_1 \\ 0 & x_2 - x_1 & y_1 - y_2 \end{bmatrix} \begin{bmatrix} 1 & \nu & 0 \\ \nu & 1 & 0 \\ 0 & 0 & \frac{1 - \nu}{2} \end{bmatrix} \begin{bmatrix} y_2 - y_3 & 0 & y_3 - y_1 & 0 & y_1 - y_2 & 0 \\ 0 & x_3 - x_2 & 0 & x_1 - x_3 & 0 & x_2 - x_1 \\ x_3 - x_2 & y_2 - y_3 & x_1 - x_3 & y_3 - y_1 & x_2 - x_1 & y_1 - y_2 \end{bmatrix}$$

onde t é a espessura da placa.

Observação: A matriz \mathbf{K} resultante possui muitos termos longos na matriz, impossibilitando a inserção dela no relatório. Assim sendo, fica seu resultado implicitamente relacionado com as demais matrizes e variáveis inseridas na equação.

Questão 2. Seja uma chapa quadrada (Fig. 3a), com os seguintes valores adimensionais: lado $\bar{L} = 1$, $\bar{E} = 1$, $\nu = 0,3$, espessura $\bar{t} = 1$, fixa em uma extremidade, sujeita a duas cargas concentradas $\bar{P} = 1$ (material elástico linear, pequenos deslocamentos e deformações).



- a) Utilizando dois elementos CST, conforme figura 3b, obtenha os deslocamentos nos pontos de aplicação das cargas, e as tensões ao longo da chapa;

Resposta: Na figura 2 encontra-se uma ilustração dos elementos utilizados e de seus respectivos nós e coordenadas.

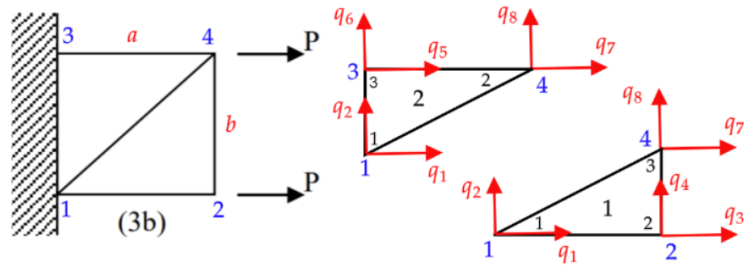


Figura 2: Ilustração dos elementos adotados para o problema.

Utilizando a ilustração como base, encontra-se a matriz de rigidez local, com a equação 1, de cada elemento

$$\mathbf{K}_1 = \begin{bmatrix} \frac{50}{91} & 0 & -\frac{50}{91} & \frac{15}{91} & 0 & -\frac{15}{91} \\ 0 & \frac{5}{26} & \frac{5}{26} & -\frac{5}{26} & -\frac{5}{26} & 0 \\ -\frac{50}{91} & \frac{5}{26} & \frac{135}{182} & -\frac{5}{14} & -\frac{5}{26} & \frac{15}{91} \\ \frac{15}{91} & -\frac{5}{26} & -\frac{5}{14} & \frac{135}{182} & \frac{5}{26} & -\frac{50}{91} \\ 0 & -\frac{5}{26} & -\frac{5}{26} & \frac{5}{26} & \frac{5}{26} & 0 \\ -\frac{15}{91} & 0 & \frac{15}{91} & -\frac{50}{91} & 0 & \frac{50}{91} \end{bmatrix}$$

e

$$\mathbf{K}_2 = \begin{bmatrix} \frac{5}{26} & 0 & 0 & -\frac{5}{26} & -\frac{5}{26} & \frac{5}{26} \\ 0 & \frac{50}{91} & -\frac{15}{91} & 0 & \frac{15}{91} & -\frac{50}{91} \\ 0 & -\frac{15}{91} & \frac{50}{91} & 0 & -\frac{50}{91} & \frac{15}{91} \\ -\frac{5}{26} & 0 & 0 & \frac{5}{26} & \frac{5}{26} & -\frac{5}{26} \\ -\frac{5}{26} & \frac{15}{91} & -\frac{50}{91} & \frac{5}{26} & \frac{135}{182} & -\frac{5}{14} \\ \frac{5}{26} & -\frac{50}{91} & \frac{15}{91} & -\frac{5}{26} & -\frac{5}{14} & \frac{135}{182} \end{bmatrix},$$

a quais dão origem a matriz de rigidez global

$$\mathbf{K}_{\text{global}} = \begin{bmatrix} \frac{135}{182} & 0 & -\frac{50}{91} & \frac{15}{91} & -\frac{5}{26} & \frac{5}{26} & 0 & -\frac{5}{14} \\ 0 & \frac{135}{182} & \frac{5}{26} & -\frac{5}{26} & \frac{15}{91} & -\frac{50}{91} & -\frac{5}{14} & 0 \\ -\frac{50}{91} & \frac{5}{26} & \frac{135}{182} & -\frac{5}{14} & 0 & 0 & -\frac{5}{26} & \frac{15}{91} \\ \frac{15}{91} & -\frac{5}{26} & -\frac{5}{14} & \frac{135}{182} & 0 & 0 & \frac{5}{26} & -\frac{50}{91} \\ -\frac{5}{26} & \frac{15}{91} & 0 & 0 & \frac{135}{182} & -\frac{5}{14} & -\frac{50}{91} & \frac{5}{26} \\ \frac{5}{26} & -\frac{50}{91} & 0 & 0 & -\frac{5}{14} & \frac{135}{182} & \frac{15}{91} & -\frac{5}{26} \\ 0 & -\frac{5}{14} & -\frac{5}{26} & \frac{5}{26} & -\frac{50}{91} & \frac{15}{91} & \frac{135}{182} & 0 \\ -\frac{5}{14} & 0 & \frac{15}{91} & -\frac{50}{91} & \frac{5}{26} & -\frac{5}{26} & 0 & \frac{135}{182} \end{bmatrix}.$$

Aplicando as condições de contorno $q_1 = q_2 = q_5 = q_6 = 0$ obtém-se a matriz de rigidez reduzida para os graus de

liberdade q_3, q_4, q_7 e q_8

$$\mathbf{K}_{\text{red}} = \mathbf{K}_{\text{global}}([3, 4, 7, 8], [3, 4, 7, 8]) = \begin{bmatrix} \frac{135}{182} & -\frac{5}{14} & -\frac{5}{26} & \frac{15}{91} \\ -\frac{5}{14} & \frac{135}{182} & \frac{5}{26} & -\frac{50}{91} \\ -\frac{5}{26} & \frac{5}{26} & \frac{135}{182} & 0 \\ \frac{15}{91} & -\frac{50}{91} & 0 & \frac{135}{182} \end{bmatrix}$$

e

$$\mathbf{F}_{\text{red}} = \mathbf{F}_{\text{global}}([3, 4, 7, 8]) = \begin{bmatrix} 1 \\ 0 \\ 1 \\ 0 \end{bmatrix}.$$

Resolvendo o sistema encontra-se os vetor de deslocamentos para esses nós

$$\mathbf{u}_{\text{red}} = \mathbf{K}_{\text{red}}^{-1} \mathbf{F}_{\text{red}} = \begin{bmatrix} 2,0391 \\ 0,4154 \\ 1,7691 \\ -0,1454 \end{bmatrix}.$$

Para obter as tensões em cada elementos basta calcular o produto das matrizes \mathbf{D} e \mathbf{B} locais para cada elementos e multiplicar pelos seus respectivos deslocamentos locais. Para o elementos 1 encontra-se

$$\mathbf{D}_1 \mathbf{B}_1 = \begin{bmatrix} -\frac{100}{91} & 0 & \frac{100}{91} & -\frac{30}{91} & 0 & \frac{30}{91} \\ -\frac{30}{91} & 0 & \frac{30}{91} & -\frac{100}{91} & 0 & \frac{100}{91} \\ 0 & -\frac{5}{13} & -\frac{5}{13} & \frac{5}{13} & \frac{5}{13} & 0 \end{bmatrix}$$

resultando em

$$\sigma_1 = \mathbf{D}_1 \mathbf{B}_1 \mathbf{u}([1, 2, 3, 4, 7, 8]) = \begin{bmatrix} 2,0559 \\ 0,0559 \\ 0,0559 \end{bmatrix}.$$

E para o elementos 2 encontra-se

$$\mathbf{D}_2 \mathbf{B}_2 = \begin{bmatrix} 0 & -\frac{30}{91} & \frac{100}{91} & 0 & -\frac{100}{91} & \frac{30}{91} \\ 0 & -\frac{100}{91} & \frac{30}{91} & 0 & -\frac{30}{91} & \frac{100}{91} \\ -\frac{5}{13} & 0 & 0 & \frac{5}{13} & \frac{5}{13} & -\frac{5}{13} \end{bmatrix}$$

resultando em

$$\sigma_2 = \mathbf{D}_2 \mathbf{B}_2 \mathbf{u}([1, 2, 7, 8, 5, 6]) = \begin{bmatrix} 1,9441 \\ 0,5832 \\ -0,0559 \end{bmatrix}.$$

- b) Utilizando um *software* de elementos finitos, faça uma análise de convergência para resolver o problema 3a, utilizando elementos triangulares apropriados. Desenhe curvas de convergência para deslocamentos e tensões máximas em função da malha. Informe o software e o elemento utilizado;

Resposta: Para a análise de convergência de malha utilizou-se o *software* FEMAP e para discretização da geometria do problema utilizou-se o elemento de placa triangular fornecido pelo *software*.

Para o processo de convergência de malha seguiu-se um padrão de refinamento da geometria, o qual consiste em aplicar um mesmo controle de malha em cada aresta da geometria, aplicando as mesmas divisões ao longo delas.

Assim sendo, uma malha dita $N \times N$ consiste em uma malha com controle de refinamento de N divisões ao longo de suas arestas.

Na figura 3 encontra-se os gráficos dos erros relativos para a deformação e tensão máxima entre a malha atual e a anterior. Analisando os gráficos pode-se concluir que o critério de convergência por tensão máxima é mais conservador que por deformação máxima, uma vez que o erro relativo da deformação encontra valores menores para uma mesma malha.

Figura 3: Erros relativos entre as malhas.

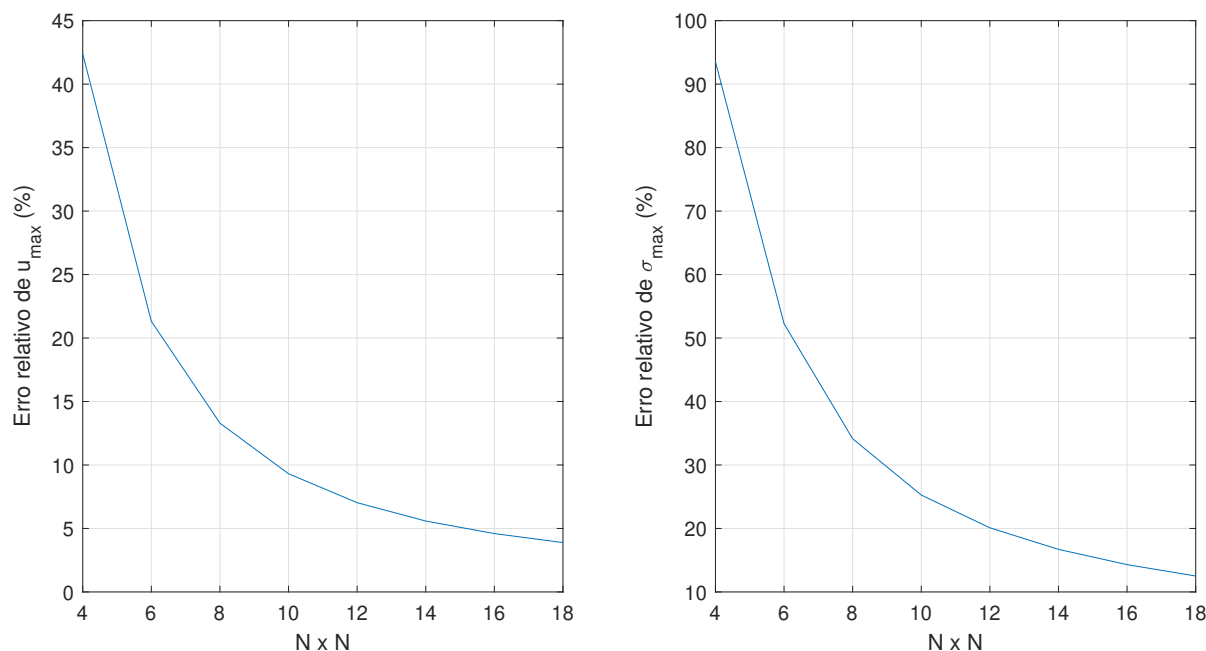
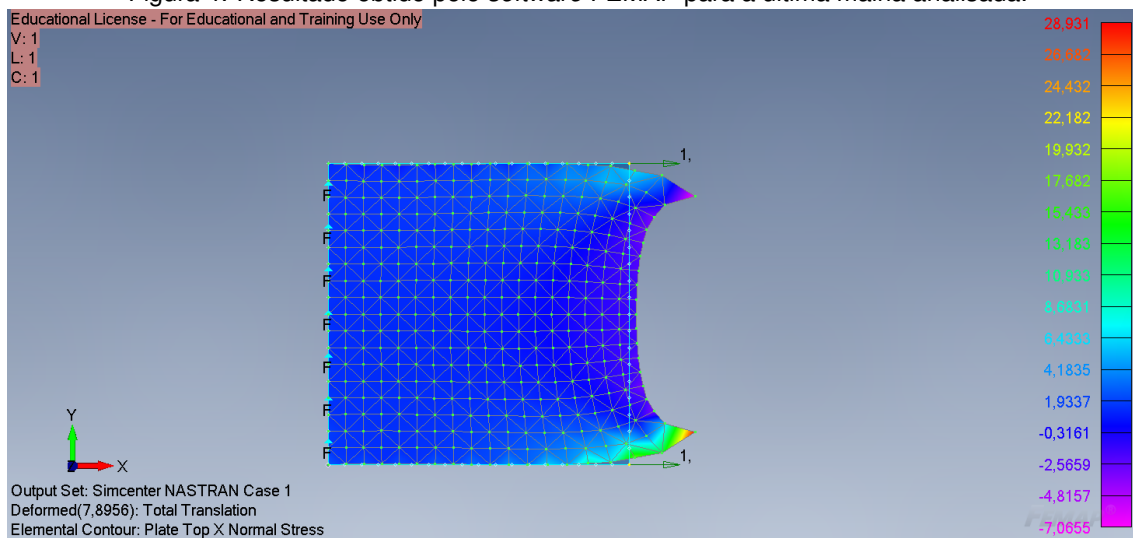


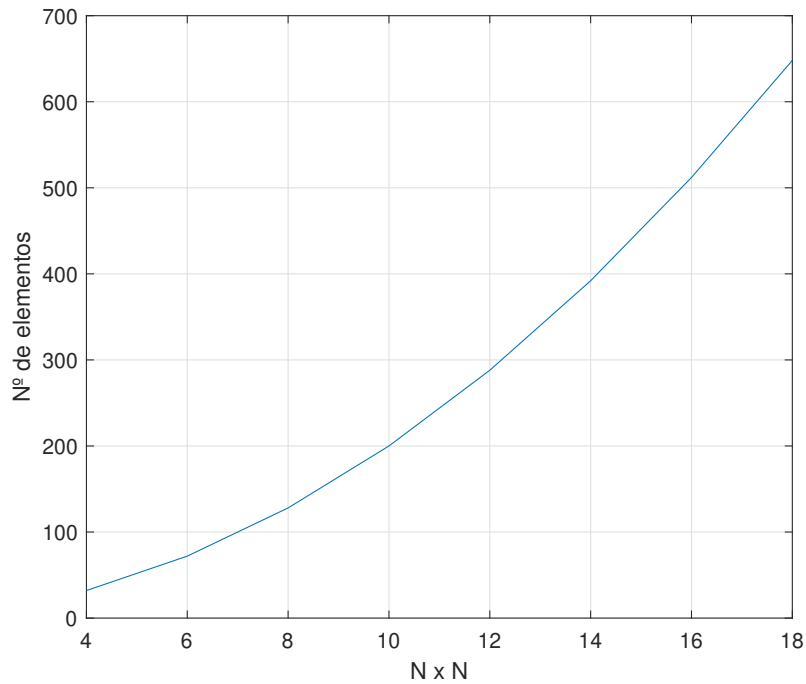
Figura 4: Resultado obtido pelo *software* FEMAP para a última malha analisada.



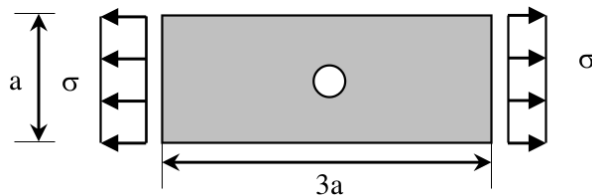
c) Comente a curva de refinamento;

Resposta: Para o processo de refinamento da malha optou-se por utilizar apenas os números pares de divisões, ou seja, avaliou-se os resultados para malhas com 2, 4, 6,..., 18 divisões ao longo das arestas. Analisando o gráfico da figura 5 observa-se uma relação quadrática entre o número de divisões nas arestas e o número total de elementos $N_{\text{elementos}} \simeq 2N_{\text{divisões}}^2$.

Figura 5: Número total de elementos para as diferentes malhas.



Questão 3. Usando um *software* de elementos finitos, obtenha o fator de concentração de tensões k_t da chapa abaixo. A chapa tem espessura t e comprimento $3a$, com um furo central de diâmetro $\phi = \frac{a}{4}$. Assuma material elástico linear perfeito, pequenos deslocamentos e deformações. Faça análise de convergência. Para simplificar as contas, adote valores adimensionais ($\bar{a} = 1$; $\bar{E} = 1$; $\bar{t} = 1$; $\bar{\sigma} = 1$) e $\nu = 0,3$. Dica: veja na literatura a definição de k_t e qual seu valor exato neste problema.



Resposta:

Para uma placa de largura finita, o fator de concentração de tensões k_t pode ser calculado como

$$k_t = \frac{\sigma_{max}}{\sigma_{nom}}$$

onde σ_{max} é a máxima tensão que atua numa dada seção (entalhada) e σ_{nom} é a tensão nominal que atuaria se o entalhe não perturbasse o campo de tensões no seu entorno. σ_{nom} pode ser definido como

$$\sigma_{nom} = \frac{W}{W - d} \sigma$$

onde W é a largura da placa, d o diâmetro do furo e σ a tensão aplicada.

Utilizando o valor de tensão máxima encontrado pela simulação feita no *software* FEMAP (Figura 6) e calculando a tensão nominal para a placa, obtemos o seguinte valor para k_t :

$$k_t = 2,39$$

Considerando os valores da Figura 8 para $d/w = 0,25$, obtemos $k_t \approx 2,42$, uma diferença de 1,24% em relação ao valor calculado a partir da simulação.

Figura 6: Resultado do problema obtido através do *software* FEMAP.

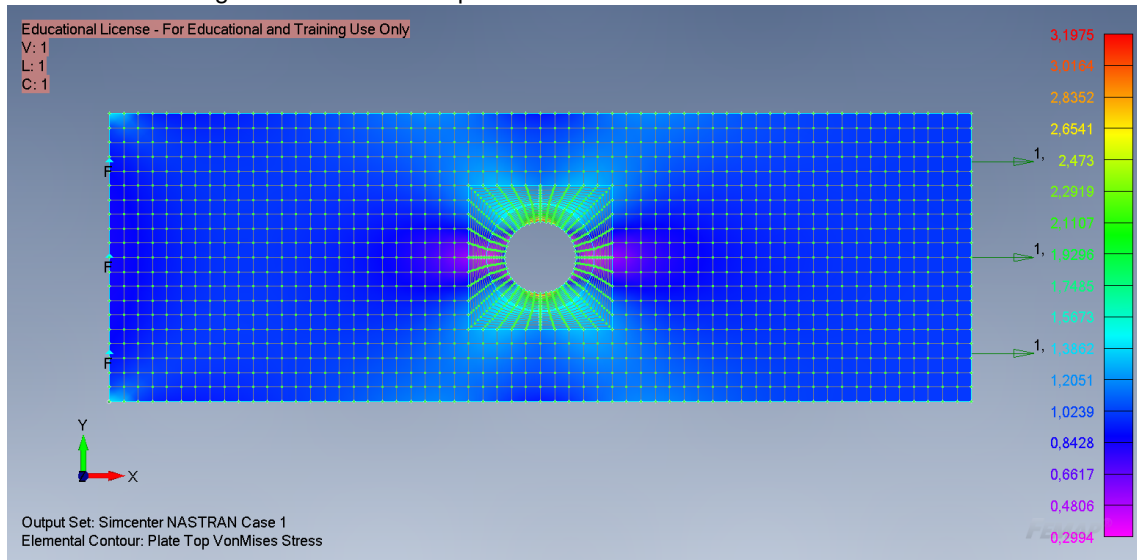


Figura 7: Resultado do problema obtido através do *software* FEMAP.

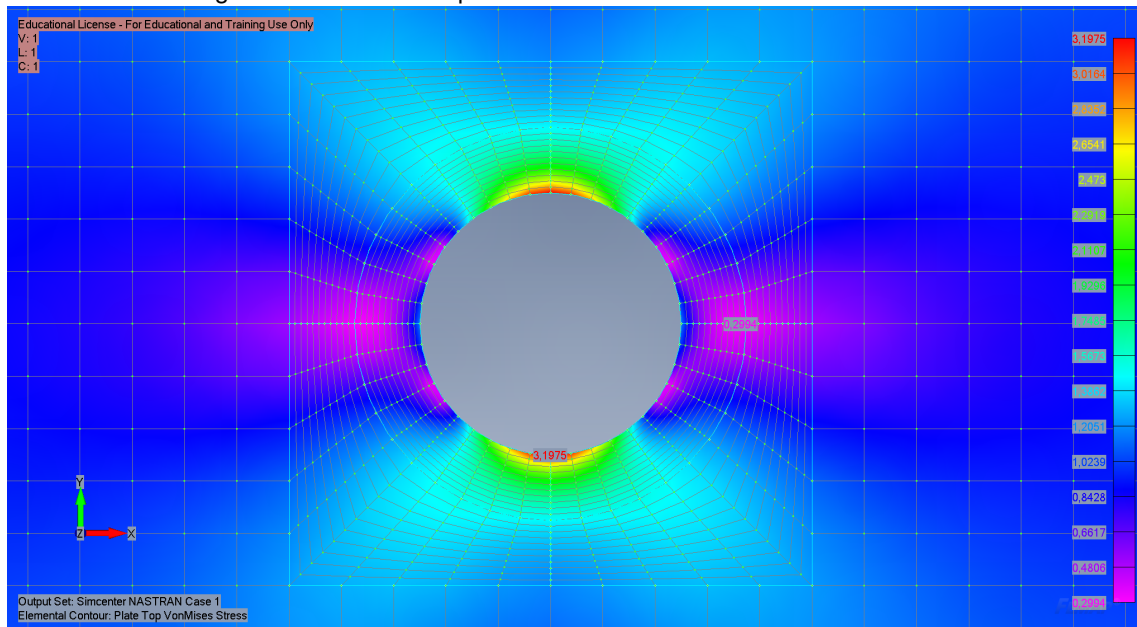
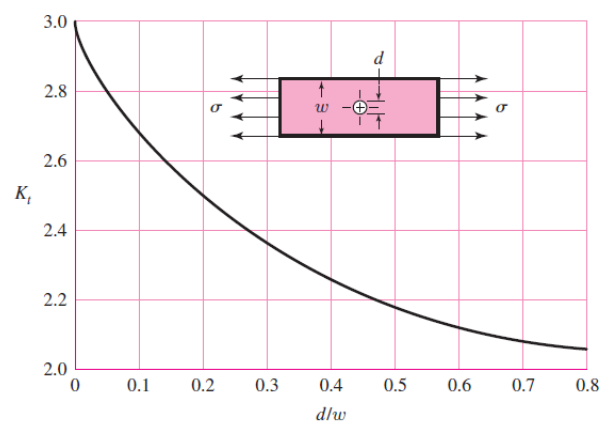
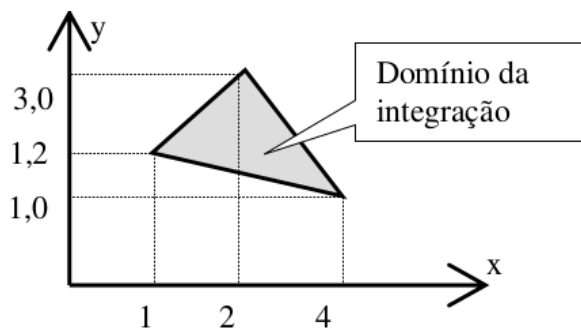


Figura 8: Ábaco para Análise de Concentradores de Tensão.



Questão 4. Obter a aproximação das integrais abaixo, com 4 pontos de quadratura de Gauss e, se possível, comparar com a solução exata:

- a) $\int_{1,0}^{1,5} x^2 \ln(x) dx$;
- b) $\iiint \frac{x^2 y^2}{z} dx dy dz$, no paralelepípedo dado por: $1,0 \leq x \leq 1,2$; $1,0 \leq y \leq 1,3$; $1,0 \leq z \leq 1,4$;
- c) $\iint \frac{\sin(xy)}{\sqrt{3x+2y}} dx dy$, no triângulo abaixo;



Resposta:

a) Observou-se que a solução por quadratura de Gauss forneceu o mesmo resultado que a solução exata.

– Solução por quadratura de Gauss:

$$\begin{aligned} \int_{1,0}^{1,5} x^2 \ln(x) dx &= \sum_{i=1}^4 \xi_i^2 \ln(\xi_i) w_i |J|, \quad \xi = \frac{1,5 - 1,0}{2} x_i + \frac{1,5 + 1,0}{2}, \quad |J| = \frac{1,5 - 1,0}{2}, \\ \int_{1,0}^{1,5} x^2 \ln(x) dx &= \left(\frac{1,5 - 1,0}{2} (-0,86) + \frac{1,5 + 1,0}{2} \right)^2 \ln \left(\frac{1,5 - 1,0}{2} (-0,86) + \frac{1,5 + 1,0}{2} \right) (0,35) |J| \\ &\quad + \left(\frac{1,5 - 1,0}{2} (-0,34) + \frac{1,5 + 1,0}{2} \right)^2 \ln \left(\frac{1,5 - 1,0}{2} (-0,34) + \frac{1,5 + 1,0}{2} \right) (0,65) |J| \\ &\quad + \left(\frac{1,5 - 1,0}{2} (0,34) + \frac{1,5 + 1,0}{2} \right)^2 \ln \left(\frac{1,5 - 1,0}{2} (0,34) + \frac{1,5 + 1,0}{2} \right) (0,65) |J| \\ &\quad + \left(\frac{1,5 - 1,0}{2} (0,86) + \frac{1,5 + 1,0}{2} \right)^2 \ln \left(\frac{1,5 - 1,0}{2} (0,86) + \frac{1,5 + 1,0}{2} \right) (0,35) |J| \\ &= 0,1923 \end{aligned}$$

– Solução exata:

$$\int_{1,0}^{1,5} x^2 \ln(x) dx = \left[\frac{x^3 \left(\ln(x) - \frac{1}{3} \right)}{3} \right]_{1,0}^{1,5} = \frac{9 \ln \left(\frac{3}{2} \right)}{8} - \frac{3}{8} + \frac{1}{9} = 0,1923$$

b) Observou-se que a solução por quadratura de Gauss forneceu o mesmo resultado que a solução exata.

– Solução por quadratura de Gauss:

$$\begin{aligned} \iiint \frac{x^2 y^2}{z} dx dy dz &= \sum_{i=1}^4 \sum_{j=1}^4 \sum_{k=1}^4 \mathcal{F}(X, Y, Z) |J| w_i w_j w_k = 0,0326 \\ N &= \frac{1}{8} \begin{bmatrix} (1+\xi)(1-\eta)(1-\zeta) \\ (1+\xi)(1+\eta)(1-\zeta) \\ (1-\xi)(1+\eta)(1-\zeta) \\ (1-\xi)(1-\eta)(1-\zeta) \\ (1+\xi)(1-\eta)(1+\zeta) \\ (1+\xi)(1+\eta)(1+\zeta) \\ (1-\xi)(1+\eta)(1+\zeta) \\ (1-\xi)(1-\eta)(1+\zeta) \end{bmatrix}, \quad B = \frac{1}{8} \begin{bmatrix} +(1-\eta)(1-\zeta) & -(1+\xi)(1-\zeta) & -(1+\xi)(1-\eta) \\ +(1+\eta)(1-\zeta) & +(1+\xi)(1-\zeta) & -(1+\xi)(1+\eta) \\ -(1+\eta)(1-\zeta) & +(1-\xi)(1-\zeta) & -(1-\xi)(1+\eta) \\ -(1-\eta)(1-\zeta) & -(1-\xi)(1-\zeta) & -(1-\xi)(1-\eta) \\ +(1-\eta)(1+\zeta) & -(1+\xi)(1+\zeta) & +(1+\xi)(1-\eta) \\ +(1+\eta)(1+\zeta) & +(1+\xi)(1+\zeta) & +(1+\xi)(1+\eta) \\ -(1+\eta)(1+\zeta) & +(1-\xi)(1+\zeta) & +(1-\xi)(1+\eta) \\ -(1-\eta)(1+\zeta) & -(1-\xi)(1+\zeta) & +(1-\xi)(1-\eta) \end{bmatrix} \end{aligned}$$

$$M = \begin{bmatrix} 1,20 & 1,00 & 1,00 \\ 1,20 & 1,30 & 1,00 \\ 1,00 & 1,30 & 1,00 \\ 1,00 & 1,00 & 1,00 \\ 1,20 & 1,00 & 1,40 \\ 1,20 & 1,30 & 1,40 \\ 1,00 & 1,30 & 1,40 \\ 1,00 & 1,00 & 1,40 \end{bmatrix}, J = B^T M$$

$$X = N^T \begin{bmatrix} 1,20 \\ 1,20 \\ 1,00 \\ 1,00 \\ 1,20 \\ 1,20 \\ 1,00 \\ 1,00 \end{bmatrix}, \quad Y = N^T \begin{bmatrix} 1,00 \\ 1,30 \\ 1,30 \\ 1,00 \\ 1,00 \\ 1,30 \\ 1,30 \\ 1,00 \end{bmatrix}, \quad Z = N^T \begin{bmatrix} 1,00 \\ 1,00 \\ 1,00 \\ 1,00 \\ 1,40 \\ 1,40 \\ 1,40 \\ 1,40 \end{bmatrix}.$$

– Solução exata:

$$\int_1^{1,4} \int_1^{1,3} \int_1^{1,2} \frac{x^2 y^2}{z} dx dy dz = \int_1^{1,4} \int_1^{1,3} \frac{91 y^2}{375 z} dy dz = \int_1^{1,4} \frac{12103}{125000 z} dz = \frac{12103 \log\left(\frac{7}{5}\right)}{125000} = 0,0326$$

c) – Solução por quadratura de Gauss:

$$\iint \frac{\text{sen}(xy)}{\sqrt{3x+2y}} dx dy = \sum_{i=1}^4 \sum_{j=1}^4 \mathcal{F}(X, Y, Z) \frac{|J|}{2} w_i w_j$$

$$J = \begin{bmatrix} x_2 - x_1 & y_2 - y_1 \\ x_3 - x_1 & y_3 - y_1 \end{bmatrix}$$

$$|J| = 5,6$$

$$I = \left[\frac{\sin\left(4 - 2\frac{1}{3} - 3\frac{1}{3}\right)\left(1 + 2\frac{1}{3} + 0, 2\frac{1}{3}\right)}{\sqrt{3\left(4 - 2\frac{1}{3} - 3\frac{1}{3}\right) + 2\left(1 + 2\frac{1}{3} + 0, 2\frac{1}{3}\right)}} \left(-\frac{27}{48}\right) \right. \\ + \frac{\sin\left(4 - 2\frac{2}{10} - 3\frac{2}{10}\right)\left(1 + 2\frac{2}{10} + 0, 2\frac{2}{10}\right)}{\sqrt{3\left(4 - 2\frac{2}{10} - 3\frac{2}{10}\right) + 2\left(1 + 2\frac{2}{10} + 0, 2\frac{2}{10}\right)}} \left(\frac{25}{48}\right) \\ + \frac{\sin\left(4 - 2\frac{6}{10} - 3\frac{2}{10}\right)\left(1 + 2\frac{6}{10} + 0, 2\frac{2}{10}\right)}{\sqrt{3\left(4 - 2\frac{6}{10} - 3\frac{2}{10}\right) + 2\left(1 + 2\frac{6}{10} + 0, 2\frac{2}{10}\right)}} \left(\frac{25}{48}\right) \\ \left. + \frac{\sin\left(4 - 2\frac{2}{10} - 3\frac{6}{10}\right)\left(1 + 2\frac{2}{10} + 0, 2\frac{6}{10}\right)}{\sqrt{3\left(4 - 2\frac{2}{10} - 3\frac{6}{10}\right) + 2\left(1 + 2\frac{2}{10} + 0, 2\frac{6}{10}\right)}} \left(\frac{25}{48}\right) \right] \frac{|J|}{2} = -0,2386$$

– Solução exata:

$$\begin{bmatrix} x \\ y \end{bmatrix} = \begin{bmatrix} L_1 x_1 + L_2 x_2 + L_3 x_3 \\ L_1 y_1 + L_2 y_2 + L_3 y_3 \end{bmatrix} = \begin{bmatrix} 4 - 3L_3 - 2L_2 \\ 2L_2 + \frac{L_3}{5} + 1 \end{bmatrix}$$

$$\iint \frac{\text{sen}(xy)}{\sqrt{3x+2y}} dx dy = \frac{|J|}{2} \int_0^1 \int_0^{1-L_3} \frac{\text{sen}\left((4 - 3L_3 - 2L_2)(2L_2 + \frac{L_3}{5} + 1)\right)}{\sqrt{3(4 - 3L_3 - 2L_2) + 2(2L_2 + \frac{L_3}{5} + 1)}} dL_2 dL_3 \\ = 2,8 \int_0^1 \int_0^{1-L_3} \left(-\frac{\sin\left((2L_2 + 3L_3 - 4)(2L_2 + \frac{L_3}{5} + 1)\right)}{\sqrt{14 - \frac{43L_3}{5} - 2L_2}} \right) dL_2 dL_3$$

Observação: Não foi possível resolver a integral de maneira exata.

Questão 5. Dada uma placa quadrada de lado $L = 400 \text{ mm}$, espessura $t = 1 \text{ mm}$, sujeita a uma carga uniformemente distribuída de $q = 1 \times 10^{-3} \text{ N/mm}^2$. A placa é de alumínio ($E = 70000 \text{ N/mm}^2$, $\nu = 0,3$), e está engastada em uma borda e simplesmente apoiada nas outras 3 bordas. Pedem-se:

- Deslocamento máximo da placa previsto pela Teoria de Kirchhoff (procure na literatura);
- Com um software comercial, obtenha a curva de convergência para o deslocamento máximo da placa, e determine qual é este deslocamento (convergiu). Faça o modelo completo da placa;
- Com a malha obtida em b) usada para determinar o deslocamento máximo (já convergiu), faça um modelo que use a simetria, ou seja, a malha deve considerar apenas metade da placa e utilizar as condições de contorno adequadas;
- Comparar e comentar os 03 resultados encontrados acima;

Resposta:

- Segundo *Timoshenko* (1940), o deslocamento máximo para o caso estudado é dado pela expressão

$$w_{max} = 0,0028 \frac{qL^4}{D},$$

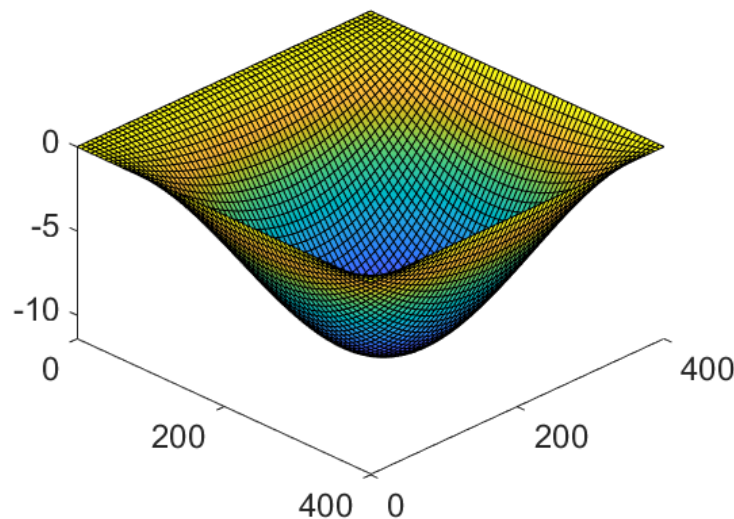
onde D é a rigidez flexural da placa dado por

$$D = \frac{Et^3}{12(1-\nu^2)} = \frac{70\,000(1)^3}{12(1-0,30^2)} = 6410,26 \text{ N} \cdot \text{mm}.$$

Logo, o valor do deslocamento máximo para o caso estudado é

$$w_{max} = 0,0028 \frac{(1 \times 10^{-3})(400)^4}{6410,26} = 11,18 \text{ mm}.$$

Figura 9: Placa de *Kirchhoff* sujeita a um lado engastado e os outros três simplesmente apoiados.



- No problema proposto, foi utilizado um código em *MATLAB* presente no livro do Ferreira (2009). O código apresenta dois tipos de elemento para a placa de *Kirchhoff*, um elemento não-conforme, que possui 3 graus de liberdade por nó, e um elemento conforme, com 4 graus de liberdade por nó. Ambos elementos foram utilizados para encontrar uma curva de convergência, apresentada na Figura 10. Comparando o código em *MATLAB* com o *software* comercial Abaqus, verificamos na Figura 11 que ambos convergem para a mesma solução.

Malha	w_{max} (3 DOF)	w_{max} (4 DOF)
2×2	15,34	13,81
4×4	12,07	11,49
8×8	11,40	11,22
16×16	11,47	11,42
32×32	11,42	11,41
64×64	11,41	11,41

Figura 10: Curva de convergência para o deslocamento máximo em função do número de graus de liberdade.

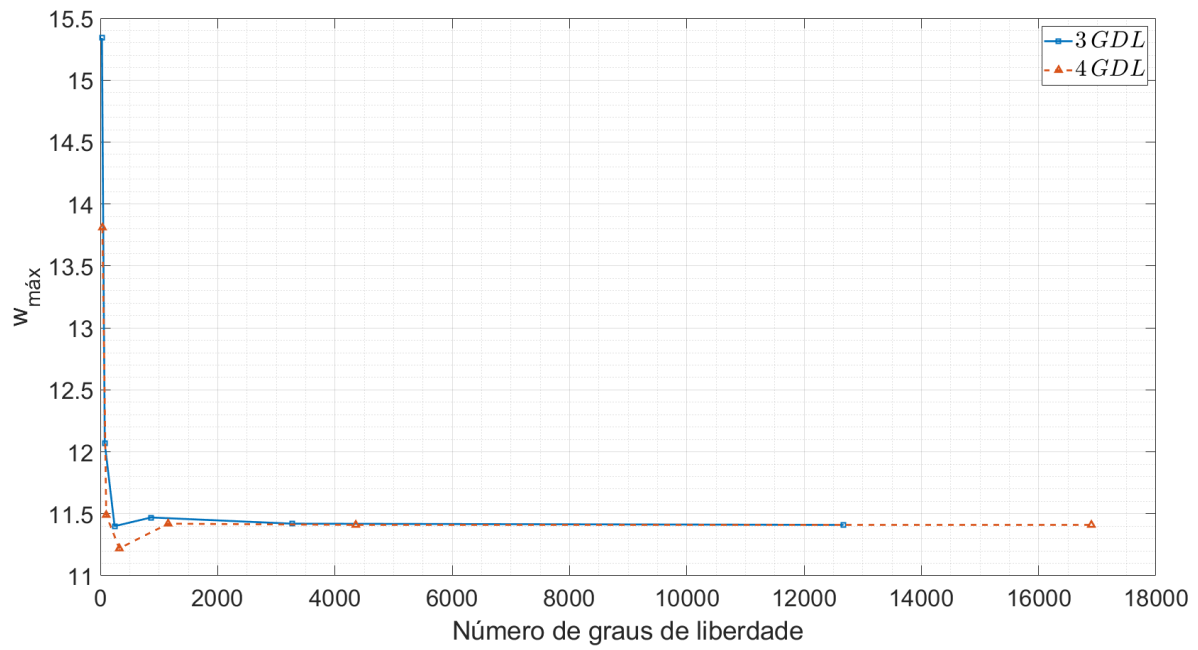
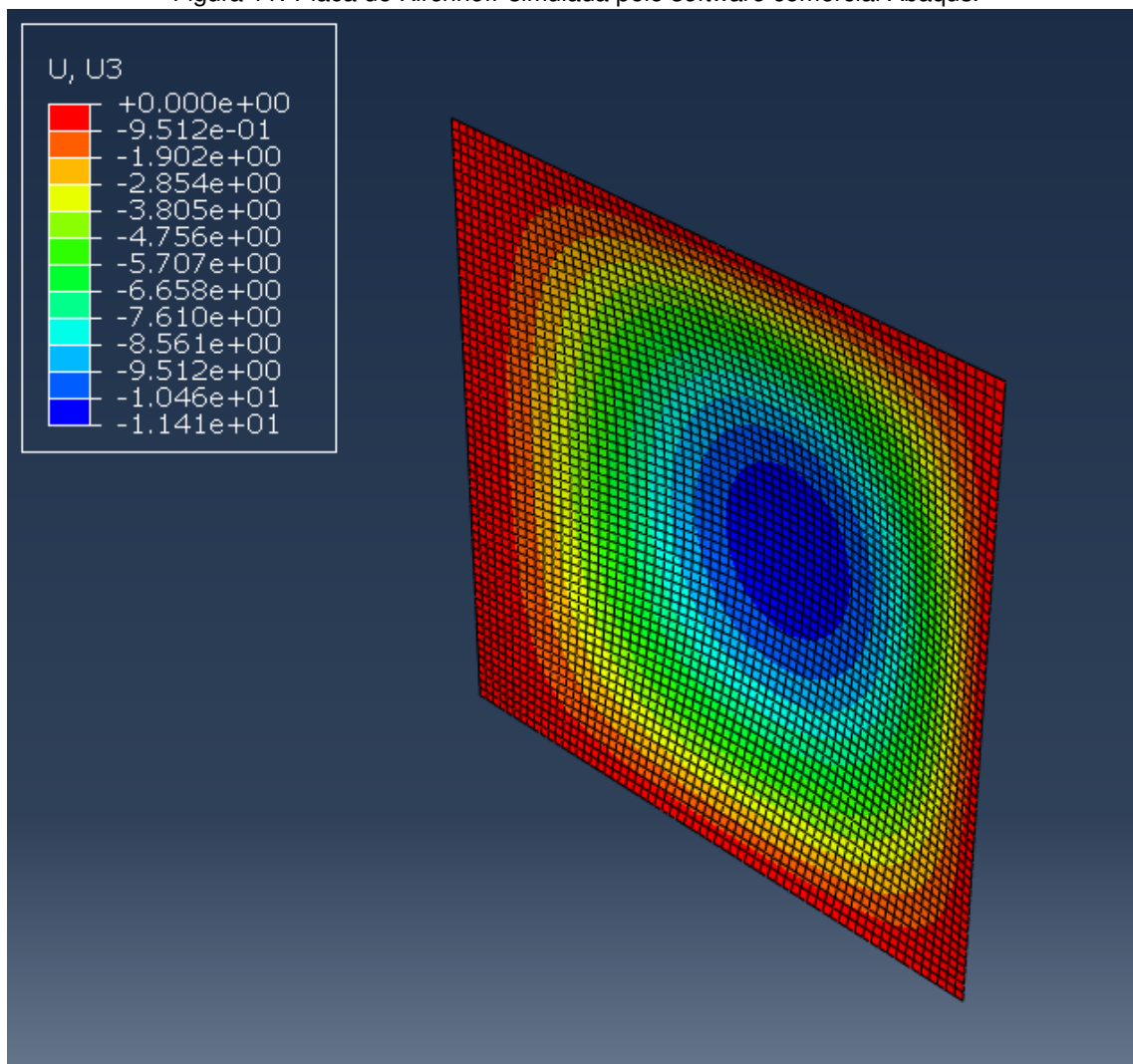


Figura 11: Placa de *Kirchhoff* simulada pelo *software* comercial Abaqus.

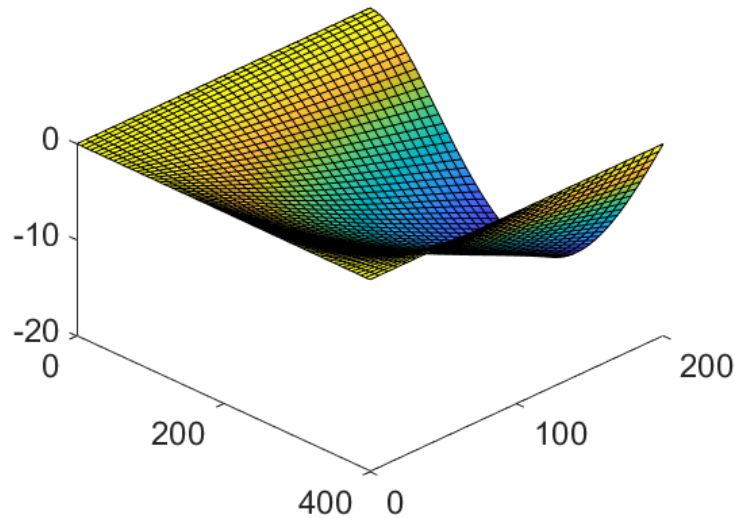


c) Impondo engaste em um lado da placa, apoio em outros dois lados e livre no quarto, como ilustrado na Figura 12,

encontramos deslocamento máximo

$$w_{max} = 11,41 \text{ mm}.$$

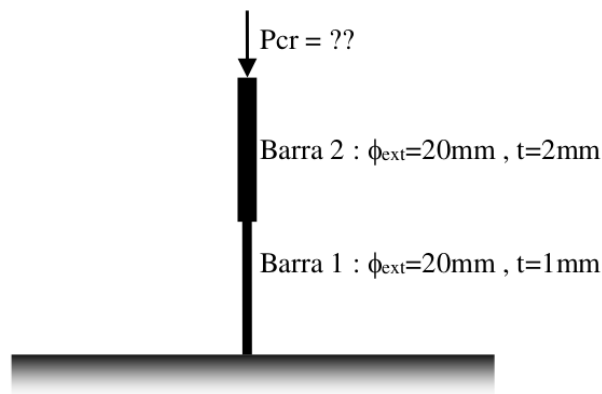
Figura 12: Placa de *Kirchhoff* modelada por simetria.



- d) Comparando os três valores, verifica-se que o modelo de *Kirchhoff* faz uma boa aproximação da solução exata. Nota-se também que tanto a geometria completa quanto modelada por simetria indicam o mesmo valor.

Questão 6. Obtenha a carga de flambagem e o modo de flambagem da estrutura abaixo, simétrica, formada por 2 barras. As barras são tubos de aço e têm comprimento de $0,5 \text{ m}$ cada. Material: $E = 200 \text{ GPa}$, $\nu = 0,32$. Resolver:

- Usando 2 elementos finitos (sem usar um software de MEF), com teoria de viga de Euler-Bernoulli;
- Usando software comercial de MEF;
- comparar e comentar eventuais diferenças;



Resposta:

- a) Utilizando a equação para a inercia de um tubo

$$I_i = \frac{\pi(\phi_{i,\text{ext}}^4 - \phi_{i,\text{int}}^4)}{64}$$

encontra-se

$$I_1 = 2,7010 \cdot 10^{-09}, \quad I_2 = 4,6370 \cdot 10^{-09}$$

com $L_1 = L_2 = 0,5 \text{ m}$, $\phi_{1,\text{int}} = 18 \text{ mm}$ e $\phi_{2,\text{int}} = 16 \text{ mm}$.

Dadas as propriedades de cada viga encontra-se a a matriz de rigidez para cada elemento

$$[K_f]_{(1)} = \begin{bmatrix} 51858,90 & 12964,72 & -51858,90 & 12964,72 \\ 12964,72 & 4321,57 & -12964,72 & 2160,79 \\ -51858,9 & -12964,72 & 51858,9 & -12964,72 \\ 12964,72 & 2160,79 & -12964,72 & 4321,57 \end{bmatrix}$$

e

$$[K_f]_{(2)} = \begin{bmatrix} 89030,22 & 22257,56 & -89030,22 & 22257,56 \\ 22257,56 & 7419,19 & -22257,56 & 3709,59 \\ -89030,22 & -22257,56 & 89030,22 & -22257,56 \\ 22257,56 & 3709,59 & -22257,56 & 7419,19 \end{bmatrix}.$$

E as matrizes de rigidez geométrica

$$[K_{geo}]_{(1)} = [K_{geo}]_{(2)} = \begin{bmatrix} 2,4 & 0,1 & -2,4 & 0,1 \\ 0,1 & 0,07 & -0,1 & -0,02 \\ -2,4 & -0,1 & 2,4 & -0,1 \\ 0,1 & -0,02 & -0,1 & 0,07 \end{bmatrix}.$$

Calculadas as matrizes de rigidez locais encontra-se a matriz de rigidez geométrica global

$$[K_{geo}]_{global} = \begin{bmatrix} 4,8 & 0,0 & -2,4 & 0,1 \\ 0,0 & 0,13 & -0,1 & -0,02 \\ -2,4 & -0,1 & 2,4 & -0,1 \\ 0,1 & -0,02 & -0,1 & 0,07 \end{bmatrix}$$

e para a matrizes de rigidez global para os graus de liberdade livres

$$[K_f]_{global} = \begin{bmatrix} 140889,12 & 9292,83 & -89030,22 & 22257,56 \\ 9292,83 & 11740,76 & -22257,56 & 3709,59 \\ -89030,22 & -22257,56 & 89030,22 & -22257,56 \\ 22257,56 & 3709,59 & -22257,56 & 7419,19 \end{bmatrix}.$$

Utilizando as matrizes de rigidez globais resolve-se o problema de autovalor

$$([K_f]_{global} - \lambda[K_{geo}]_{global})\{a\} = 0$$

e encontra-se os valores de λ para o sistema

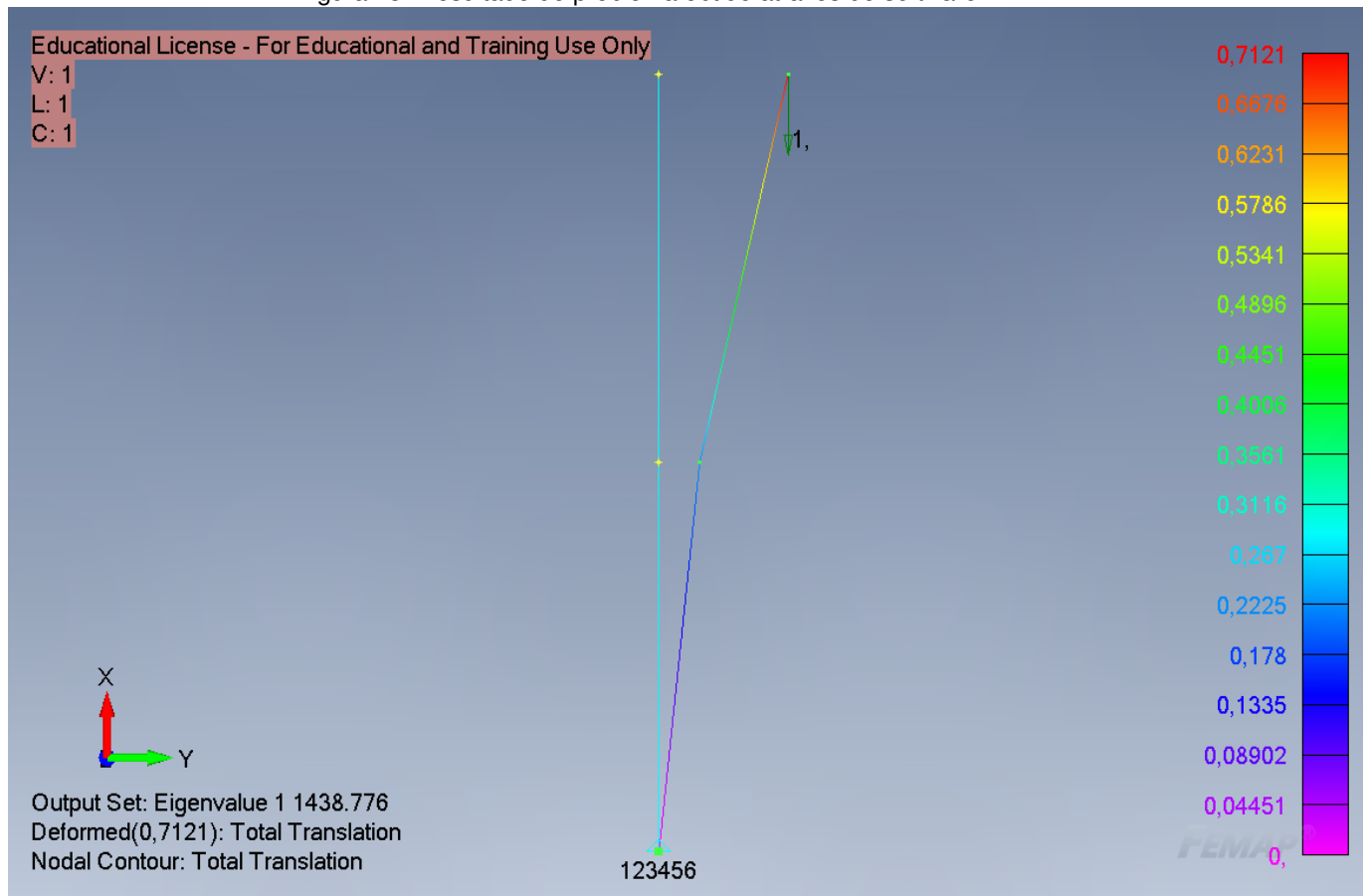
$$\lambda = \{1439,27 \quad 16442,45 \quad 53378,11 \quad 172337,04\}$$

resultando em uma carga crítica

$$P_{cr} = \lambda_1 = 1439,27 N.$$

- b) Para resolver o problema utilizou-se o *software* FEMAP com 2 elementos de viga fornecido pelo *software*. Na figura 13 encontra-se o resultado obtido pelo *software*.

Figura 13: Resultado do problema obtido através do *software* FEMAP.



- c) O resultado para a carga crítica obtido através do *software* FEMAP foi de $P_{cr} = 1438,776 \text{ N}$, representando um erro relativo em relação ao calculado no item (a) de 0,0343 %. Então, pode-se dizer que o resultado calculado no item (a) e (b) foram aproximadamente o mesmo, com pequenas diferenças que provavelmente é resultado de erros numéricos.